

## Интегрально-оптические датчики электрического поля на основе кристалла ниобата лития: теоретические аспекты чувствительности

А.Б.Сотский, И.У.ПРИМАК, Л.И.СОТСКАЯ

Институт прикладной оптики НАН Беларуси Могилев 212793, ул. Б.-Бирули, 11  
Tel./Fax +375(222) 264649 E-mail: ipo@physics.belpak.mogilev.by

Измерение напряженностей и пространственной ориентации электрических полей является одним из важных приложений оптических датчиков. Среди устройств такого рода особый интерес, благодаря своей компактности и простоте включения в волоконно-оптический тракт, представляют интегрально-оптические датчики, в которых используется линейный электрооптический эффект [1-3]. Их основным элементом служит волноводный интерферометр Маха-Цендера, преобразующий фазовую модуляцию света в амплитудную. Однако в известных датчиках достижение необходимой асимметрии условий для плеч интерферометра предполагает либо использование внешней антенны [1,2], либо создание сложных волноводных конфигураций, обеспечивающих различную для каждого из плеч глубину проникновения поля волноводной моды в электрооптический материал [3]. В последнем случае существенной асимметрии добиться не удается, что приводит к сравнительно низкой чувствительности измерений ( $\sim 10^6 \text{ A}^{-1}$ ).

В настоящей работе исследованы более эффективные устройства, в которых нарушение симметрии детектируемого поля и его усиление достигаются за счет пространственного разделения заряда в системе свободных планарных электродов.

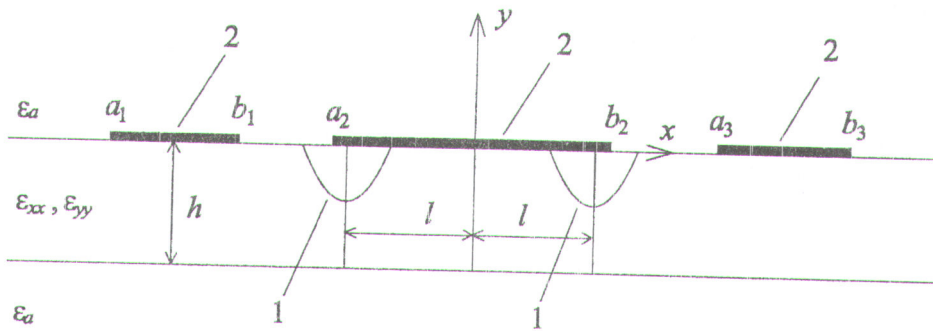


Рис. 1. Поперечное сечение активной области датчика: 1-волновод, 2-электроды.

Поперечное сечение активной области рассматриваемых устройств представлено на рис.1. Данная область включает пластину кристалла ниобата лития  $Z$ -среза толщины  $h$ , окруженную однородной средой с диэлектрической проницаемостью  $\epsilon_a$ . Значение  $h$  предполагается много меньшим размеров кристалла в  $x$ - и  $z$ -направлениях. В качестве плечей интерферометра используются одномодовые диффузионные канальные волноводы, в которых для минимизации поглощения света материалом электродов рабочими являются моды квази-ТЕ поляризации. На поверхности кристалла  $y = 0$  расположены свободные (т.е. не подключенные к какому-либо источнику напряжения и имеющие нулевые полные заряды) параллельные электроды. Электроды предполагаются бесконечно тонкими (их толщина много меньше ширины) и имеющими в  $z$ -направлении длину  $L$ , удовлетворяющую условию  $L \gg 2c$ , где  $2c$ -ширина электродной системы в  $x$ -направлении. В описанной конфигурации разность фаз мод на выходе активной

области интерферометра дается выражением [4, 5]

$$\Delta\Phi = 0.5LR_{13}\varepsilon_o^{1.5} \int_{-\infty}^0 dy \int_{-\infty}^{\infty} dx [u^2(x-l, y) - u^2(x+l, y)] E_y(x, y) \left[ \int_{-\infty}^0 dy \int_{-\infty}^{\infty} dx u^2 \right]^{-1}. \quad (1)$$

Здесь  $k_0 = 2\pi\lambda_0^{-1}$ -волновое число вакуума,  $R_{13}$ -компоненты электрооптического тензора кристалла,  $\varepsilon_o$ -диэлектрическая проницаемость кристалла для волн обыкновенной поляризации,  $E_y(x, y)$ -составляющая управляющего электрического поля,  $x = \pm l$ - координаты центров волноводов,  $u(x, y)$ -собственная функция скалярной волноводной задачи

$$\nabla_x^2 u + \nabla_y^2 u + [k_0^2(\varepsilon_o + \Delta\varepsilon f(x, y)) - \beta^2]u = 0, \quad u|_{y=0} \equiv 0, \quad \lim_{x^2+y^2 \rightarrow \infty} u = 0, \quad (2)$$

где  $\Delta\varepsilon f(x, y)$  — функция профиля диэлектрической проницаемости волновода,  $\beta$  — постоянная распространения моды. Заметим, что пределы интегрирования в (1) распространены до бесконечности в предположении локализованного распределения  $u(x, y)$ .

Допустим, что датчик помещен в постоянное электрическое поле  $\mathbf{E}^{(0)}$ . При описанных ограничениях электрическое поле в системе, равное  $\mathbf{E} = -\nabla\varphi$ , описывается двумерным уравнением Пуассона

$$\nabla_x \varepsilon_{xx} \nabla_x \varphi + \nabla_x \varepsilon_{yy} \nabla_y \varphi = -\sigma(x)\delta(y). \quad (3)$$

Здесь  $\varepsilon_{xx}(y), \varepsilon_{yy}(y)$  — компоненты статического тензора диэлектрической проницаемости слоистой среды,  $\delta(y)$  — дельта-функция Дирака,  $\sigma(x)$  — поверхностная плотность зарядов, отличная от нуля только на отрезках оси  $0x$ , занятых электродами.

В соответствии с (3), поле  $\mathbf{E}$  может быть представлено в виде суммы  $\mathbf{E} = \mathbf{E}^{(1)} + \mathbf{E}^{(2)}$ , где  $E_x^{(1)} = E_x^{(0)}$ ,

$$E_y^{(1)} = E_y^{(0)} \quad y > 0, y < -h, \quad E_y^{(1)} = \varepsilon_a \varepsilon_{yy}^{-1} E_y^{(0)} \quad -h < y < 0, \quad (4)$$

$$E_{x,y}^{(2)}(x, y) = \sum_{i=1}^n \int_{a_i}^{b_i} G_{x,y}(x-x', y) \sigma(x') dx', \quad (5)$$

$n$  — число электродов,  $a_i, b_i$  — координаты краев  $i$ -го электрода,  $G_{x,y}$  — функции источника для слоистой среды, явный вид которых можно найти, например, в [6]. Из равенства  $E_x^{(0)} + E_x^{(2)} = 0$  на электродах следуют интегральные уравнения относительно функций  $\sigma_i(x)$ :

$$\sum_{i=1}^n \int_{a_i}^{b_i} G_x(x-x', 0) \sigma_i(x') dx' = -E_x^{(0)}, \quad x \in (a_j, b_j), \quad j = 1, 2, \dots, n, \quad (6)$$

где  $\sigma_i(x) = \sigma(x)$  при  $x \in (a_i, b_i)$ .

Согласно (1), (4), (5), вклад в величину  $\Delta\Phi$  дает лишь составляющая электрического поля  $E_y^{(2)}$ , которая, в силу существования резольвенты системы (6) [6], пропорциональна  $E_x^{(0)}$ . Таким образом, рассматриваемыми датчиками регистрируется только величина

$E_x^{(0)}$ . Оценка чувствительности соответствующих измерений предполагает решение системы (6). В [7] обоснован способ ее приближенного интегрирования, согласно которому в области кристалла

$$E_x^{(2)}(x, y) = E_{xo}^{(2)}(x, -qy) + \sum_{j=1}^{\infty} \Delta^j \{E_{xo}^{(2)}[x, q(2hj - y)] - E_{xo}^{(2)}[x, q(2hj + y)]\}, \quad (7)$$

$$E_y^{(2)}(x, y) = -q \{E_{yo}^{(2)}(x, -qy) + \sum_{j=1}^{\infty} \Delta^j [E_{yo}(x, q(2hj - y)) + E_{yo}(x, q(2hj + y))]\}, \quad (8)$$

$$q = \sqrt{\varepsilon_{xx}\varepsilon_{yy}^{-1}}, \quad \Delta = (1 - \sqrt{\varepsilon_{xx}\varepsilon_{yy}\varepsilon_a^{-1}})(1 + \sqrt{\varepsilon_{xx}\varepsilon_{yy}\varepsilon_a^{-1}}),$$

где функции  $E_{x,y,o}^{(2)}(x, y)$  равны функциям  $E_{x,y}^{(2)}(x, y)$  для электродной системы датчика, расположенной в вакууме. Данные функции имеют вид [8]

$$E_{xo}^{(2)}(x, y) = -\operatorname{Re}F, \quad E_{yo}^{(2)}(x, y) = \operatorname{Im}F, \quad F = \sum_{j=1}^n \int_{a_j}^{b_j} \bar{\sigma}(x')(x' - \zeta)^{-1} dx', \quad (9)$$

где  $\zeta = x + iy$ , а нормированные плотности заряда  $\bar{\sigma}_j(x)$  подчиняются системе сингулярных интегральных уравнений

$$E_x^{(0)} = \lim_{y \rightarrow +0} \operatorname{Re} \sum_{i=1}^n \int_{a_i}^{b_i} \bar{\sigma}_i(x')(x' - \zeta)^{-1} dx', \quad x \in (a_j, b_j), \quad j = 1, 2, \dots, n, \quad (10)$$

техника интегрирования которой изложена в [9].

Приведем результаты исследования датчика в случае симметричной трехэлектродной системы, изображенной на рис.1. Пусть  $b_3 = -a_1 = c$ ,  $a_3 = -b_1 = b$ ,  $b_2 = -a_2 = a$ . Тогда, в соответствии с (7)-(10), компонента  $E_x^{(2)}$  является четной, а  $E_y^{(2)}$  – нечетной функциями  $x$ . Графики функций  $E_x^{(2)}(x)$  и  $E_y^{(2)}(x)$ , рассчитанные на основании (8)-(11) при значениях  $\varepsilon_{xx} = 43$ ,  $\varepsilon_{yy} = 29$ ,  $ha^{-1} = 200$ ,  $ba^{-1} = 1.333$ ,  $ca^{-1} = 135$ ,  $ya^{-1} = -0.11$ , представлены на рис.2а. Их вид свидетельствует о том, что наличие свободных электродов приводит к существенному локальному усилиению напряженности поля в области кристалла.

В рассматриваемом случае разность фаз  $\Delta\Phi = k_0 L \varepsilon_o \sqrt{\varepsilon_o} R_{13} E_x^{(0)} \Gamma$ , где

$$\Gamma = \int_{-\infty}^0 dy \int_{-\infty}^{\infty} dx E_y^{(2)}(x, y) (E_x^{(0)})^{-1} u^2(x - l, y) \left[ \int_{-\infty}^0 dy \int_{-\infty}^{\infty} dx u^2(x, y) \right]^{-1}.$$

Результаты расчета интеграла перекрытия полей  $\Gamma(l)$  приведены на рис.2б. Они получены после решения задачи (2) методом вариационного разделения переменных [10] при  $\Delta\varepsilon = 0.046$ ,  $\lambda_0 = 0.6328$  мкм,  $a = 15$  мкм,  $b = 20$  мкм,  $c = 2020$  мкм,  $h = 3000$  мкм и соответствуют модели [10]

$$f(x, y) = 0.5 \exp[-(yw^{-1})^2] [\operatorname{erf}(xw^{-1} + 0.5F) - \operatorname{erf}(xw^{-1} - 0.5F)],$$

в которой выбраны  $F = 2$ ,  $w = 1.65$  мкм. Как видно из рис.2б, существует оптимальное взаимное расположение электродов и волноводов. При оптимальном  $l = 0.92a$  имеем  $\Gamma = 27.3$ . Этому значению при  $L = 2 \cdot 10^4$  мкм,  $\epsilon_o = 5.2$ ,  $R_{13} = 8.6 \cdot 10^{-6-1}$  соответствует  $\Delta\Phi = KE_x^{(0)}$ , где  $K = 665.7^{-1}$ . Отсюда, задаваясь минимальной регистрируемой разностью фаз  $\Delta\Phi = 10^{-3}$  [11], получаем оценку чувствительности  $[E_x^{(0)}]_{min} \sim 1.5^{-1}$ . При детектировании гармонических полей указанное значение  $\Delta\Phi$  может быть снижено на три порядка [1]. В этом случае величина  $[E_x^{(0)}]_{min} \sim 1.5 \cdot 10^{-3-1}$  находится на уровне чувствительности интегрально-оптических датчиков с внешней антенной [1,2].

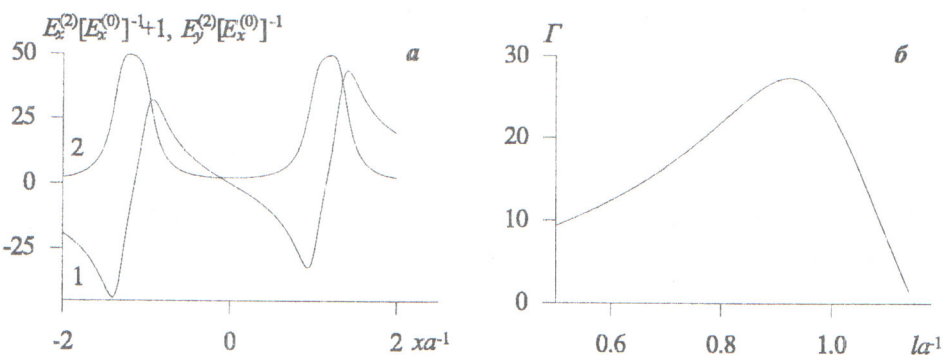


Рис. 2. а : напряженность электрического поля в области кристалла при  $y = -0.11a$ . Кривые 1-зависимости  $E_y^{(2)}(x)$ , 2-зависимости  $E_x^{(2)}(x)$ , б : зависимость  $\Gamma$  от  $l$ .

Таким образом, использование свободных планарных электродов позволяет создать эффективный интегрально-оптический датчик электрического поля. Приведенные значения его чувствительности имеют лишь оценочный характер. Они могут варьироваться в широких пределах за счет выбора конфигурации электродной системы.

**Abstract.** New schemes of electric field strength and direction sensors containing channel optical waveguides and planar electrode systems located on a lithium niobate crystal surface are proposed. An effect of amplification of a detected signal due to redistribution of a charge density in the electrode systems is predicted. The problem of sensitivity of the Mach-Zehnder interferometric sensors based on an electrooptic effect in titan-diffused channel waveguides is studied in details.

### Литература

- [1] C.H.Bulmer // Appl. Phys. Lett. 1988. Vol.53. N24. P.445-447.
- [2] А. К. Никитин, А.А. Тищенко, А.И. Черняй // Зарубежная радиоэлектроника. 1990. N10. С.14-30.
- [3] N.A.F.Jaeger, L. Young // J. Lightwave Technology. 1987. Vol. LT-5. N6. P.745-750.
- [4] А.М.Гончаренко, А.Б.Сотский // Докл. АН БССР. 1978. Т.22. N9. С.788-790.
- [5] Ю.С.Кузьминов, Кристалл ниобата лития, М.: Наука, 1987. 264 с.
- [6] M.Kobayashi // IEEE Trans. Microwave Theory Tech. 1978. Vol. MTT-26. N2. P.119-126.
- [7] A.B.Sotsky, L.I.Sotskaya, V.I.Sivucha // Proc. SPIE. 1993. Vol.1932. P.275-296.

- [8] В.И.Вольман, Ю.В.Пименов, *Техническая электродинамика*, М.: Связь, 1971. 475с.
- [9] С.Г.Михлин, *Интегральные уравнения*, М.: ГИТТЛ, 1949. 380с.
- [10] А.Б.Сотский, Л.И.Сотская, Ю.Д.Столяров // Радиотехника и электроника. 1989. Т.34. N6. C.1158-1165.
- [11] W.Lukosz // Sensors and Actuators. 1995. Vol. B29. P.37-50.